

УДК 539.375

## ПОЛЗУЧЕСТЬ ЗАЩЕМЛЕННЫХ ПЛАСТИН ПРИ РАЗЛИЧНЫХ СТРУКТУРАХ АРМИРОВАНИЯ

Ю. В. Немировский

Институт теоретической и прикладной механики им. С. А. Христиановича СО РАН,  
630090 Новосибирск  
E-mail: nemirov@itam.nsc.ru

На основе теории старения в формулировке Ю. Н. Работнова разработан единый подход к исследованию процесса ползучести защемленных по контуру пластин с разнообразными структурами армирования. В декартовой и полярной системах координат рассмотрен широкий класс прямолинейных и криволинейных структур армирования. Для этих структур выведены уравнения увеличения прогибов вследствие ползучести и уравнения для определения предельно допустимых времен эксплуатации.

Ключевые слова: пластины, ползучесть, изгиб, армированные структуры, теория старения, время разрушения.

В различных изделиях современного машиностроения, судостроения и авиакосмической техники широко используются плоские конструкции из армированных металлов и пластиков. При больших амплитудах термосиловых нагрузок в таких конструкциях интенсивно развиваются процессы ползучести, что приводит к необходимости поиска путей снижения деформативности и предотвращения преждевременного разрушения конструкций. Наиболее естественный способ решения этих проблем заключается в подборе подходящих материалов и поиске рациональных структур армирования. Плоская пластина заданной геометрической формы может быть армирована в плоскости бесконечным разнообразием прямолинейных или криволинейных волокон [1].

Рассматривая далее задачи поперечного изгиба армированных пластин, будем считать, что эти пластины состоят из слоев, симметрично армированных относительно срединной поверхности  $z = 0$ . Полагаем, что в каждом слое волокна имеют постоянное поперечное сечение и различные механические свойства. Тогда в криволинейной системе координат  $(\alpha_1, \alpha_2)$  связь между плотностью  $\omega_i$  и углом траектории армирования  $\varphi_i$  в  $i$ -м слое пластины определяется уравнением [2]

$$\frac{\partial}{\partial \alpha_1} (H_2 \omega_i \cos \varphi_i) + \frac{\partial}{\partial \alpha_2} (H_1 \omega_i \sin \varphi_i) = 0,$$

где  $H_1, H_2$  — параметры Ламе.

В случае армирования по координатным линиям имеем

$$\frac{\partial}{\partial \alpha_1} (H_2 \omega_{1i}) = 0, \quad \frac{\partial}{\partial \alpha_2} (H_1 \omega_{2i}) = 0,$$

---

Работа выполнена при финансовой поддержке Российского фонда фундаментальных исследований (код проекта 12-01-90405-Укр-а).

© Немировский Ю. В., 2014

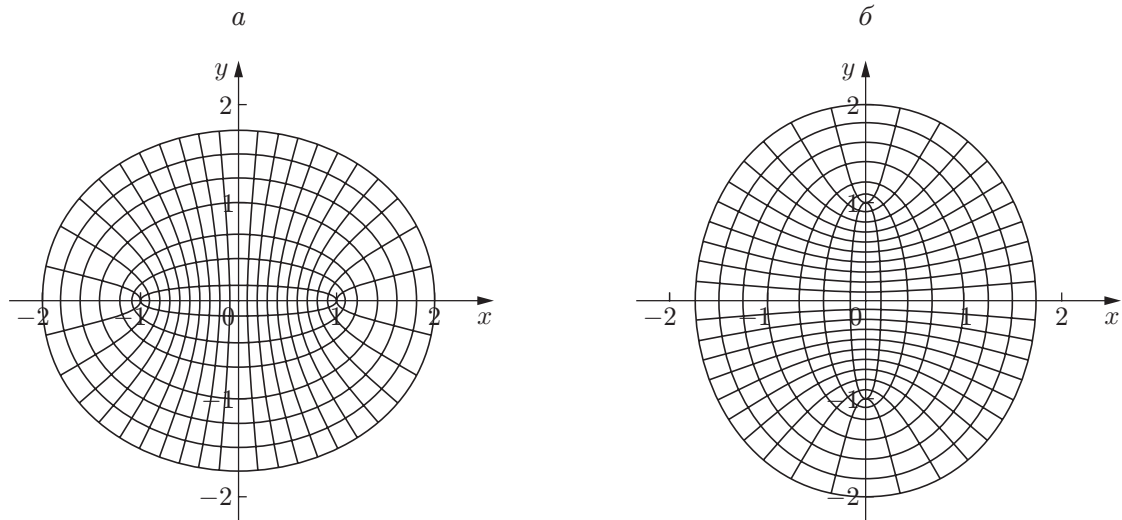


Рис. 1. Ориентация волокон в направлениях координатных линий эллиптической системы:

*a* — семейство арматур с фокусами на оси *x*; *b* — семейство арматур с фокусами на оси *y*

$$\omega_{1i}(\alpha_1, \alpha_2) = \frac{H_{2i}(\alpha_1^0, \alpha_2)\omega_{1i}^0(\alpha_2)}{H_2(\alpha_1, \alpha_2)}, \quad \omega_{2i} = \frac{H_1(\alpha_1, \alpha_2^0)\omega_{2i}^0}{H_1(\alpha_1, \alpha_2)},$$

где  $\omega_{2i}^0(\alpha_1)$ ,  $\omega_{1i}^0(\alpha_2)$  — известные функции на линиях  $\alpha_2 = \alpha_2^0 = \text{const}$  и  $\alpha_1 = \alpha_1^0 = \text{const}$ .

Достаточно большое разнообразие криволинейных структур армирования в *i*-м слое пластины ( $h_{i-1} \leq z \leq h_i$ ,  $i = 1, 2, \dots, n$ ) можно получить, рассматривая схемы с ортогональными траекториями армирования. Общие ортогональные системы координат  $U, V$  можно получить с помощью соотношения

$$U + iV = f(x + iy), \quad i^2 = -1,$$

где  $f$  — произвольная аналитическая функция [3].

В частности, полагая

$$U + iV = \arcsin \frac{x + iy}{c}, \quad \sin U = \frac{s_1 - s_2}{2c}, \quad \text{ch } V = \frac{s_1 + s_2}{2c}$$

( $s_1 = \sqrt{(x+c)^2 + y^2}$ ,  $s_2 = \sqrt{(x-c)^2 + y^2}$  — расстояния между точкой  $(x, y)$  и фокусами, находящимися в точках с координатами  $y = 0$ ,  $x = \pm c$ ) и выполняя замену переменных  $x = c \sin U \text{ ch } V$  ( $0 \leq U \leq 2\pi$ ),  $y = \pm c \cos U \text{ sh } V$  ( $0 \leq V \leq \infty$ ), получаем эллиптические координаты, координатными линиями которых являются софокусные  $U$ -гиперболы и  $V$ -эллипсы:

$$\frac{x^2}{c^2 \text{ch}^2 V} + \frac{y^2}{c^2 \text{sh}^2 V} = 1, \quad \frac{x^2}{c^2 \sin^2 U} - \frac{y^2}{c^2 \cos^2 U} = 1.$$

На рис. 1 показаны семейства арматур двух типов: с фокусами на оси  $x$  и с фокусами на оси  $y$ . Приведем выражения для плотностей армирования  $\omega_k$  и углов армирования  $\varphi_k$  волокон в эллиптической системе координат. Для  $V$ -эллипсов имеем

$$\frac{x^2}{\text{ch}^2 V} + \frac{y^2}{\text{sh}^2 V} = c^2, \quad \text{tg } \varphi_1 = \frac{dy}{dx} = -\frac{x \text{ sh}^2 V}{y \text{ ch}^2 V} = -\text{tg } U \text{ th } V,$$

$$\sin^2 \Psi_1 = \frac{\cos^2 U \text{ ch}^2 V}{\text{ch}^2 V - \sin^2 U}, \quad \sin^2 \Psi_1 = \frac{\sin^2 U \text{ sh}^2 V}{\text{ch}^2 V - \sin^2 U}.$$

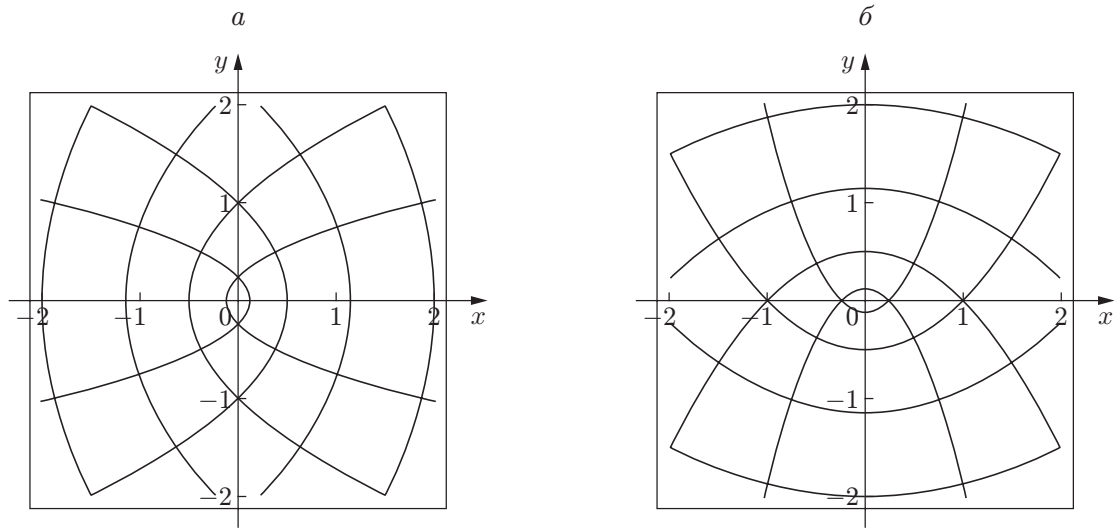


Рис. 2. Параболические структуры армирования:

$a$  — семейство парабол с вершинами на оси  $x$ ;  $b$  — семейство парабол с вершинами на оси  $y$

Плотность армирования вдоль  $V$ -эллипсов равна

$$\omega_1(U, V) = \frac{\sqrt{g_{22}(U_0, V)} \omega_1^0(V)}{\sqrt{g_{22}(U, V)}}, \quad g_{22}(U, V) = c^2(\text{ch}^2 V - \sin^2 U).$$

Для  $U$ -гипербол имеем

$$\frac{x^2}{\sin^2 U} - \frac{y^2}{\cos^2 U} = c^2, \quad \text{tg}^2 \Psi_2 = \frac{dy}{dx} = \frac{x \cos^2 U}{y \sin^2 U} = -\text{ctg} U \text{cth} V,$$

$$\cos^2 \Psi_2 = \frac{\sin^2 U \text{sh}^2 V}{\text{ch}^2 V - \sin^2 U}, \quad \sin^2 \Psi_2 = \frac{\cos^2 U \text{ch}^2 V}{\text{ch}^2 V - \sin^2 U}.$$

Плотность армирования вдоль  $U$ -гипербол равна

$$\omega_2(U, V) = \frac{\sqrt{g_{11}(U, V_0)} \omega_2^0(V)}{\sqrt{g_{11}(U, V)}}, \quad g_{11}(U, V) = c^2(\text{ch}^2 V - \sin^2 U).$$

Полагая

$$u + iv = \sqrt{2(x + iy)}, \quad u = \sqrt{r + x}, \quad v = \sqrt{r - x}$$

( $r = \sqrt{x^2 + y^2}$  — расстояние от точки с координатами  $x = 0, y = 0$ ), получаем семейства траекторий, совпадающих с координатными линиями параболической системы координат (софокусные  $U$ - и  $V$ -параболы с общей осью симметрии (рис. 2)). В случае параболической структуры армирования плотности армирования волокон определяются выражениями

$$\omega_1(x, y) = \sqrt{\frac{r - x}{2r}} \omega_1^0, \quad \omega_2(x, y) = \sqrt{\frac{r + x}{2r}} \omega_2^0.$$

Полагая

$$u + iv = (x + iy)^2/2, \quad u = (x^2 - y^2)/2, \quad v = xy,$$

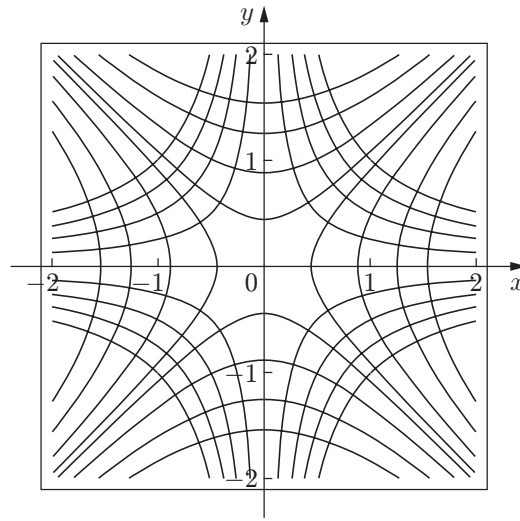
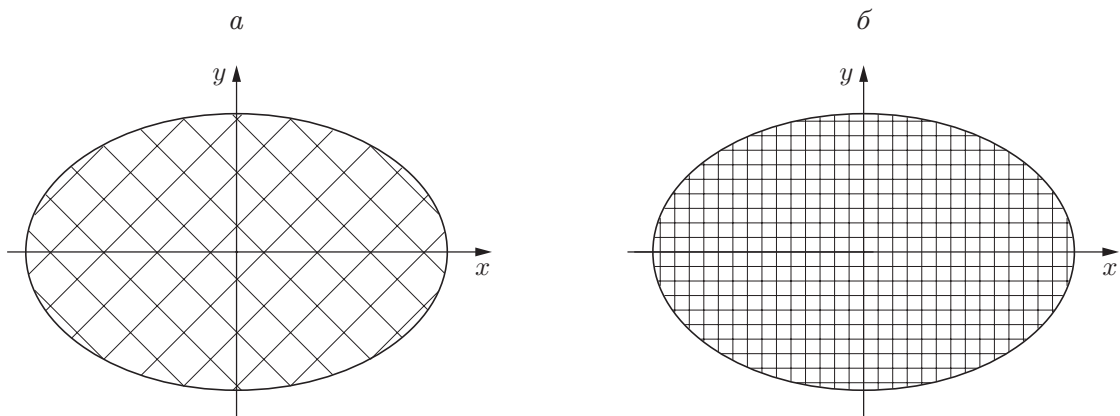


Рис. 3. Гиперболические структуры армирования

Рис. 4. Прямолинейные структуры армирования:  
а — косоугольные структуры, б — прямоугольные структуры

получаем структуру армирования в виде семейства равносторонних гипербол (рис. 3). Для такой структуры плотности армирования волокнами постоянного поперечного сечения определяются равенствами

$$\omega_1(x, y) = \sqrt{\frac{x^2 + y^2}{2|xy|}} \omega_1^0, \quad \omega_2(x, y) = \sqrt{\frac{x^2 + y^2}{|x^2 - y^2|}} \omega_2^0.$$

При армировании пластин в прямоугольной системе координат прямолинейными волокнами с постоянным сечением (рис. 4) углы и плотности армирования сохраняют постоянное значение.

Разнообразные структуры армирования можно описать в полярной системе координат. Такие структуры применяются в кольцевых пластинах. При использовании волокон с постоянным поперечным сечением в кольцевых пластинах с осесимметричными условиями нагружения, закрепления и армирования получаем, в частности, следующие зависимости плотности  $\omega$  и угла  $\mu$  армирования от координаты  $r$  [4]:

1) спирали Архимеда

$$\omega(r) = \frac{\omega_0 \sqrt{r_0^2 + (r \operatorname{tg} \mu)^2}}{r \sqrt{1 + \operatorname{tg}^2 \mu}}, \quad \operatorname{tg} \mu = \frac{r}{r_0} \operatorname{tg} \mu_0;$$

2) логарифмические спирали

$$\omega(r) = \frac{\omega_0 r_0}{r}, \quad \mu(r) = \mu_0 = \operatorname{const};$$

3) “спицы велосипеда”

$$\omega(r) = \frac{\omega_0 r_0 \cos \mu_0}{\sqrt{r^2 - (r_0 \sin \mu_0)^2}}, \quad \sin \mu = \frac{r_0 \sin \mu_0}{r}$$

( $\omega_0, \mu_0$  — параметры армирования на внутреннем контуре  $r = r_0$ ).

Могут быть использованы прямолинейные волокна, расположенные в радиальном направлении ( $\operatorname{tg} \mu = 0$ ), и криволинейные окружные волокна ( $\operatorname{tg} \mu = \infty$ ) с постоянной или переменной плотностью укладки в радиальном направлении. В направлении нормали к поверхности пластины в разных слоях могут быть использованы различные комбинации указанных выше структур армирования.

Рассмотрим процесс ползучести гибридных слоисто-волоконных пластин с симметричными относительно срединной плоскости пластины структурами армирования. Для получения единообразных компактных формул для широкого класса разнообразных структур и материалов армирования целесообразно использовать для всех материалов теорию старения в формулировке Ю. Н. Работнова [5, 6] и классические кинематические гипотезы Кирхгофа — Лява для всего пакета слоев. В этом случае на основе уравнения упругопластического изгиба армированных оболочек [7] для изгибающих и крутящих моментов  $M_x, M_y, M_{xy}$  в декартовой системе координат получаем выражения

$$M_x = A_1(x, y, t)C^{m_0}(t) + \sum_{i=1}^m C^{m_i}(t)D_{1i}(x, y, t)l_{1i}^2,$$

$$M_y = A_2(x, y, t)C^{m_0}(t) + \sum_{i=1}^m C^{m_i}(t)D_{1i}(x, y, t)l_{2i}^2,$$

$$M_{xy} = A_3(x, y, t)C^{m_0}(t) + \sum_{i=1}^m C^{m_i}(t)D_{1i}(x, y, t)l_{1i}l_{2i},$$

$$A_1 = R(2k_x + k_y), \quad A_2 = R(2k_y + k_x), \quad A_3 = 2Rk_{xy},$$

$$R = \frac{2}{3} \frac{B_0(t)k_u^{m_0}}{m_0 + 1} \sum_{i=1}^n (h_i^{m_0+1} - h_{i-1}^{m_0+1}), \quad D_{1i} = 2 \sum_{i=1}^n \frac{\omega_i B_i(t)}{m_i + 1} (h_i^{m_i+1} - h_{i-1}^{m_i+1}) k_i^{m_i},$$

$$k_u = (k_x^2 + k_x k_y + k_y^2 + 4k_{xy}^2)^{1/2}, \quad k_i = k_x l_{1i}^2 + k_y l_{2i}^2 + 2k_{xy} l_{1i} l_{2i}, \quad l_{1i} = \cos \varphi_i, \quad l_{2i} = \sin \varphi_i,$$

$$k_x = -\frac{\partial^2 w}{\partial x^2}, \quad k_y = -\frac{\partial^2 w}{\partial y^2}, \quad k_{xy} = -\frac{\partial^2 w}{\partial x \partial y}, \quad \bar{w}(x, y, t) = C(t)w(x, y),$$

где  $z = h_i$  — координаты межслойных поверхностей;  $\varphi_i(x, y), \omega_i(x, y)$  — углы наклона волокна и плотности армирования в  $i$ -м слое;  $B_i(t), m_i$  — параметры ползучести волокон  $i$ -го семейства  $B_0(t); m_0$  — параметры ползучести материала матрицы;  $C(t)$  — искомая функция, определяющая интенсивность ползучести пластины;  $w(x, y)$  — функция распределения прогиба, удовлетворяющая условиям закрепления пластины.

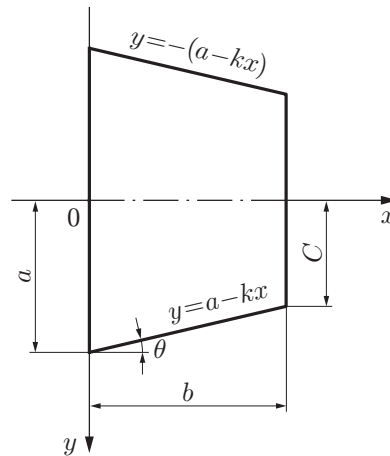


Рис. 5. Трапециевидная защемленная пластина

Для функций  $B_0(t)$ ,  $B_i(t)$  обычно используются зависимости вида [8]

$$B_0(t) = \frac{1}{1 + \alpha_0 t^{\beta_0}}, \quad B_i(t) = \frac{1}{1 + \alpha_i t^{\beta_i}},$$

где  $t$  — время;  $\alpha_0, \beta_0, \alpha_i, \beta_i$  ( $i = 1, 2, \dots, n$ ) — параметры, определяемые в экспериментах для соответствующих материалов.

Для рассматриваемых пластин уравнение равновесия в декартовой системе координат имеет вид

$$\frac{\partial^2 M_x}{\partial x^2} + 2 \frac{\partial^2 M_{xy}}{\partial x \partial y} + \frac{\partial^2 M_y}{\partial y^2} - q(x, y) = 0. \quad (1)$$

Для защемленных пластин с различными контурами нетрудно подобрать функции прогибов, удовлетворяющие условиям защемления в контуре

$$w|_{\Gamma} = 0, \quad \frac{dw}{d\nu}|_{\Gamma} = 0$$

( $\nu$  — координата вдоль нормали к контуру  $\Gamma$ ). Например, для односвязных или двусвязных эллиптических пластин с защемленными контурами имеем

$$w(x, y) = \left( \frac{x^2}{a_1^2} + \frac{y^2}{b_1^2} - 1 \right)^2 \quad \text{или} \quad w(x, y) = \left( \frac{x^2}{a_1^2} + \frac{y^2}{b_1^2} - 1 \right)^2 \left( \frac{x^2}{a_2^2} + \frac{y^2}{b_2^2} - 1 \right)^2. \quad (2)$$

При  $a_1 = b_1$  или  $a_2 = b_2$  получаем контуры в виде окружностей. Поэтому формулы (2) можно использовать также для круговых пластин с эллиптическим отверстием или эллиптических пластин с круговым отверстием. Для прямоугольных защемленных пластин со сторонами  $a$  и  $b$  имеем

$$w(x, y) = \sin^2(\pi x/a) \sin^2(\pi y/b).$$

Для защемленной трапециевидной пластины в декартовой системе координат  $(x, y)$ , выбранной в соответствии с рис. 5, следует принять функцию  $w(x, y)$  в форме

$$w(x, y) = x^2(b-x)^2[(a-kx)^2 - y^2]^2.$$

При заданных функциях  $w(x, y)$  оценка интенсивности ползучести рассматриваемых пластин сводится к определению функций  $C(t)$ . Для нахождения функций  $C(t)$  можно использовать метод Бубнова — Галеркина. Для пластины заданной формы подставим

функцию  $w(x, y)$  в формулы  $M_x, M_y, M_{xy}$ , а полученные выражения — в уравнение равновесия (1). Далее умножим (1) на  $w(x, y)$  и проинтегрируем по поверхности пластины. В результате для функции  $C(t)$  получаем уравнение

$$K_0(t)C^{m_0} + \sum_{i=1}^n K_i(t)C^{m_i} = Q, \quad (3)$$

где

$$K_0(t) = \iint_s \left( \frac{\partial^2 A_1}{\partial x^2} + \frac{\partial^2 A_2}{\partial y^2} + 2 \frac{\partial^2 A_3}{\partial x \partial y} \right) w(x, y) dx dy,$$

$$Q = \iint_s q(x, y)w(x, y) dx dy,$$

$$K_i(t) = \iint_s \left( \frac{\partial^2 (D_{1i}l_{1j}^2)}{\partial x^2} + \frac{\partial^2 (D_{1i}l_{2i})}{\partial y^2} + \frac{\partial^2 (D_{1i}l_{1i}l_{2i})}{\partial x \partial y} \right) w(x, y) dx dy.$$

Таким образом, для оценки ползучести пластин, имеющих различную геометрию и разнообразные структуры армирования, получаем алгебраическое уравнение вида (3), которое несложно решить численным методом. Используя это решение, можно определить допустимые времена эксплуатации рассматриваемых пластин для выбора рациональных структур армирования. Время  $t_*^0$  начала разрушения матрицы определяется из условия

$$\max_{(x,y)} \varepsilon_u(x, y, z, t_*^0) = \varepsilon_0^* \quad \text{или} \quad C(t_*^0) = \varepsilon_0^* [h_n \max_{(x,y)} k_u],$$

время  $t_i^*$  начала разрушения волокон  $i$ -го семейства — из условия

$$h_i C(t_i^*) \max_{(x,y)} [k_x l_{1i}^2 + k_y l_{2i}^2 + 2k_{xy} l_{1i} l_{2i}] = \varepsilon_i^*,$$

допустимое время эксплуатации рассматриваемых пластин равно

$$t^* = \min(t_0^*, t_1^*, \dots, t_n^*).$$

При осесимметричном изгибе заземленных кольцевых пластин для прогиба  $w(r)$  и изгибающих моментов  $M_r, M_\Theta$  имеем выражения

$$w(r) = (1 - r^2/R_0^2)^2 (1 - r^2/R_1^2)^2; \quad (4)$$

$$M_r = A_1(r, t)C^{m_0}(t) + \sum_{i=1}^n C^{m_i}(t)D_{1i}l_{1i}^2, \quad M_\Theta = A_2(r, t)C^{m_0}(t) + \sum_{i=1}^n C^{m_i}(t)D_{1i}l_{2i}^2, \quad (5)$$

где

$$A_1 = R(2k_r + k_\Theta), \quad A_2 = R(2k_\Theta + k_r), \quad R = \frac{2B_0(t)k_u^{m_0}}{3(m_0 + 1)} \sum_{i=1}^n (1 - \omega_i)(h_i^{m_0+1} - h_{i-1}^{m_0+1}),$$

$$D_{1i} = 2 \sum_{i=1}^n \frac{\omega_i B_i(t)}{m_i + 1} (h_i^{m_i+1} - h_{i-1}^{m_i+1}) k_i, \quad k_u = (k_r^2 + k_r k_\Theta + k_\Theta^2)^{1/2}, \quad k_i = k_r l_{1i}^2 + k_\Theta l_{2i}^2,$$

$$l_{1i} = \cos \mu_i, \quad l_{2i} = \sin \mu_i, \quad k_r = -\frac{d^2 w}{dr^2}, \quad k_\Theta = -\frac{1}{r} \frac{dw}{dr},$$

$r$  — текущий радиус;  $R_0, R_1$  — радиусы внутреннего и внешнего контуров.

Уравнение равновесия имеет вид

$$L(M_r, M_\Theta) = \frac{d^2(rM_r)}{dr^2} - \frac{dM_\Theta}{dr} - q(r)r = 0,$$

поэтому, учитывая выражения (4), (5), из равенства

$$\int_{R_0}^{R_1} L(M_r, M_\Theta)w(r)r dr = 0$$

получаем уравнение для функции  $C(t)$ , подобное уравнению (3).

### ЛИТЕРАТУРА

1. **Немировский Ю. В.** Математическое моделирование плоских конструкций из армированных волокнистых материалов / Ю. В. Немировский, Н. А. Федорова. Красноярск: Сиб. федер. ун-т, 2010.
2. **Немировский Ю. В., Бушманов С. Б.** Проектирование пластин, армированных равнонапряженными волокнами постоянного поперечного сечения // Механика композит. материалов. 1983. № 2. С. 278–284.
3. **Лаврентьев М. А.** Методы теории функций комплексного переменного / М. А. Лаврентьев, Б. В. Шабат. М.: Наука, 1965.
4. **Вохмянин И. Т., Немировский Ю. В.** Особенности продольно-поперечного изгиба трехслойных кольцевых пластин с несимметричными структурами армирования // Краевые задачи и математическое моделирование: Сб. тр. 8-й Всерос. конф., Новокузнецк, 1–3 дек. 2006 г. Новокузнецк: Новокузнецк. филиал Кемер. гос. ун-та, 2006. Т. 1. С. 25–31.
5. **Работнов Ю. Н.** Некоторые вопросы теории ползучести // Вестн. Моск. гос. ун-та. 1948. № 10. С. 81–91.
6. **Работнов Ю. Н.** Ползучесть элементов конструкций. М.: Наука, 1966.
7. **Немировский Ю. В.** К теории упругопластического деформирования армированных оболочек // Теория пластин и оболочек. М.: Наука, 1971. С. 192–198.
8. **Работнов Ю. Н.** Расчет деталей машин на ползучесть // Изв. АН СССР. Отд-ние техн. наук. 1948. № 6. С. 789–800.

*Поступила в редакцию 22/V 2013 г.*